

T1 - Análise de circuitos corrente contínua

André Cruz - a92833; Beatriz Demétrio - a92839; Carlos Ferreira - a92846

2 de março de 2021

1 Valores teóricos

1.1 Cálculo da tensão nos nós I, II e III

Iremos usar o métodos dos nós no circuito apresentado na figura 1, para encontrar a tensão em três pontos aplicando, claro, a lei dos nós (que diz a soma das correntes a entrar num nó é igual à soma das correntes que dele saem).

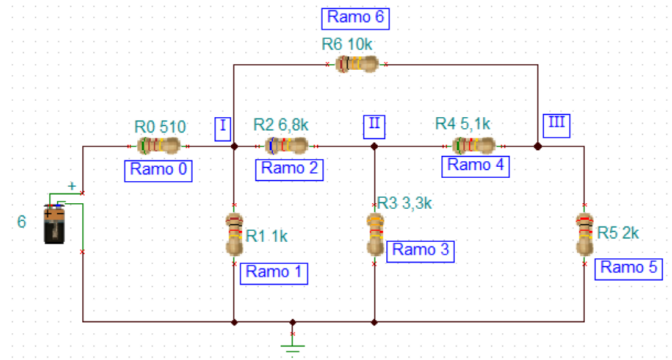


Figure 1: Circuitos com os respetivos nós e ramos

Portanto, aplicando o método dos nós vamos ter o seguinte sistema:

$$\begin{cases} \frac{6-V_I}{R_0} = \frac{V_I}{R_1} + \frac{V_I-V_{II}}{R_2} + \frac{V_I-V_{III}}{R_6} \\ \frac{V_I-V_{II}}{R_2} = \frac{V_{II}}{R_3} + \frac{V_{II}-V_{III}}{R_4} \\ \frac{V_{II}-V_{III}}{R_4} + \frac{V_I-V_{III}}{R_6} = \frac{V_{III}}{R_5} \end{cases} \quad (1)$$

Ora, substituindo as resistências pelo seu respetivo valor e resolvendo o sistema, vamos ter que:

$$\begin{cases} V_I \approx 3,74V \\ V_{II} \approx 1,07V \\ V_{III} \approx 0,7343V = 734,3mV \end{cases}$$

1.2 Cálculo das correntes em cada ramo do circuito apresentado

Usando os valores obtidos anteriormente e os valores das resistências, podemos calcular as correntes que passam em cada ramo da figura 1:

$$\begin{aligned}\text{Ramo 0} &\rightarrow I_0 = \frac{6-V_I}{R_0} \approx 4,43mA \\ \text{Ramo 1} &\rightarrow I_1 = \frac{V_I}{R_1} \approx 3,74mA \\ \text{Ramo 2} &\rightarrow I_2 = \frac{V_I-V_{II}}{R_2} \approx 0,39mA \\ \text{Ramo 3} &\rightarrow I_3 = \frac{V_{II}}{R_3} \approx 0,32mA \\ \text{Ramo 4} &\rightarrow I_4 = \frac{V_{II}-V_{III}}{R_4} \approx 0,066mA \\ \text{Ramo 5} &\rightarrow I_5 = \frac{V_{III}}{R_5} \approx 0,37mA \\ \text{Ramo 6} &\rightarrow I_6 = \frac{V_I-V_{III}}{R_6} \approx 0,30mA\end{aligned}$$

Para confirmar estes valores, basta usarmos a lei dos nós para os três nós da figura 1:

Para o nó I:

$$I_0 = I_1 + I_2 + I_6 \Leftrightarrow I_0 = 3,74 + 0,39 + 0,30 \Leftrightarrow I_0 \approx 4,43mA$$

Este valor é exatamente igual ao que obtivemos em cima.

Para o nó II:

$$I_2 = I_3 + I_4 \Leftrightarrow I_2 = 0,32 + 0,066 \Leftrightarrow I_2 \approx 0,39mA$$

Este valor é exatamente igual ao que obtivemos em cima.

Para o nó III:

$$I_5 = I_6 + I_4 \Leftrightarrow I_5 = 0,30 + 0,066 \Leftrightarrow I_5 \approx 0,37mA$$

Este valor é exatamente igual ao que obtivemos em cima.

Portanto, com isto verificamos que os valores das tensões e das correntes obtidas estão em concordância uns com os outros.

1.3 Cálculo do valor de R_5 de modo a obter a máxima transferência de energia

Para calcular este valor de R_5 iremos utilizar o teorema da máxima transferência de potência. Este teorema diz-nos que para haver a máxima potência transferida, R_5 deve assumir o valor da resistência de Thevenin, R_{Th} , do circuito. Por isso, iremos calcular a resistência de Thevenin do circuito apresentado na figura 1.

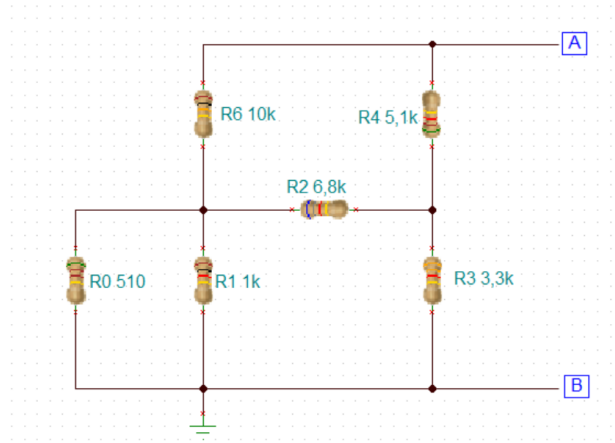


Figure 2: Circuito com as fontes de tensão em curto-circuito, as fontes de correntes em aberto e identificação dos terminais que substituem a resistência 5

Sendo que R_0 e R_1 são paralelos entre si, então vamos ter que:

$$R = \frac{R_0 R_1}{R_0 + R_1} = \frac{510 \times 1 \times 10^3}{510 + 1 \times 10^3} \approx 337,7 \Omega$$

Passamos agora a ter uma rede resistiva que não pode ser simplificada usando as combinações série-paralela. Então, para descobrir a resistência de Thevenin iremos utilizar a transformação “Delta-Y”. Por isso, passamos a ter os seguintes circuitos:

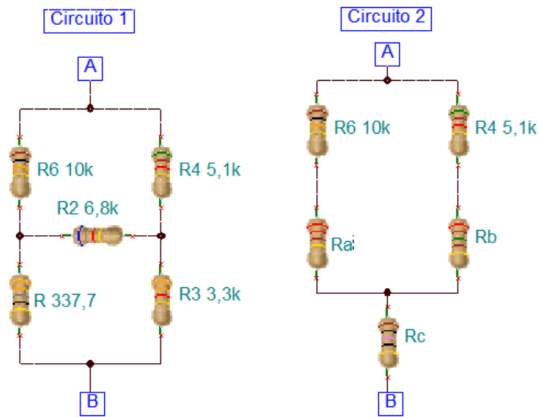


Figure 3: Circuito 1 representa o circuito antes da transformação Delta-Y; circuito 2 representa o circuito depois da transformação Delta-Y

Se aplicarmos, então ao circuito 1, a transformação Delta-Y vamos ter que R_a , R_b e R_c vão ser calculados da seguinte maneira e têm os seguintes valores:

$$\begin{aligned} R_a &= \frac{R \times R_2}{R + R_2 + R_3} = \frac{337,7 \times 6,8k}{3,3k + 337,7 + 6,8k} \approx 220,01\Omega \\ R_b &= \frac{R_3 \times R_2}{R + R_2 + R_3} = \frac{3,3k \times 6,8k}{3,3k + 337,7 + 6,8k} \approx 2149,899\Omega \\ R_c &= \frac{R_3 \times R}{R + R_2 + R_3} = \frac{3,3k \times 337,7}{3,3k + 337,7 + 6,8k} \approx 106,768\Omega \end{aligned}$$

Tendo o circuito mais simplificado (circuito 2) e tendo os valores de R_a , R_b e R_c , já podemos aplicar as combinações série-paralelo. Por isso, vamos ter, tanto no lado esquerdo como no lado direito do circuito 2, que as duas resistências estão em série:

No lado esquerdo:

$$10k + R_a = 10k + 220,01 = 10220,01\Omega$$

No lado direito:

$$5,1k + R_b = 5,1k + 2149,899 = 7249,899\Omega$$

Com isto ficamos com duas resistências equivalentes que estão em paralelo entre si e o conjunto das duas está em série com R_c . Portanto, a resistência de Thevenin vai ter o seguinte valor:

$$R_{Th} = R_c + \frac{10220,01 \times 7249,99}{10220,01 + 7249,99} \approx 4,35k\Omega$$

Em suma, o valor de R_5 de modo a obter a máxima transferência de potência é aproximadamente igual a $4,35k\Omega$.

1.4 Cálculo das matrizes de impedância e admitância pela análise nodal

Pela análise do circuito presente na figura 1 e aplicando a lei dos nós, retiramos os seguintes sistemas

$$\begin{cases} I_0 = I_2 + I_1 + I_6 \\ I_2 = I_3 + I_4 \\ I_5 = I_4 + I_6 \end{cases} \Leftrightarrow \begin{cases} I_0 = \frac{V_I}{R_1} + \frac{V_I - V_{II}}{R_2} + \frac{V_I - V_{II}}{R_6} \\ I_2 = \frac{V_{II}}{R_3} + \frac{V_{II} - V_{III}}{R_4} \\ I_5 = \frac{V_{II} - V_{III}}{R_4} + \frac{V_I - V_{III}}{R_6} \end{cases}$$

Na forma matricial iremos ter que:

$$\begin{bmatrix} \left(\frac{1}{R_1} + \frac{1}{R_2} + \frac{1}{R_6}\right) & \left(-\frac{1}{R_2}\right) & \left(-\frac{1}{R_6}\right) \\ 0 & \left(\frac{1}{R_3} + \frac{1}{R_4}\right) & \left(-\frac{1}{R_4}\right) \\ \frac{1}{R_6} & \frac{1}{R_4} & \left(-\frac{1}{R_4} - \frac{1}{R_6}\right) \end{bmatrix} \begin{bmatrix} V_I \\ V_{II} \\ V_{III} \end{bmatrix} = \begin{bmatrix} I_0 \\ I_2 \\ I_5 \end{bmatrix}$$

Esta primeira matriz que aparece nesta equação anterior designa-se por matriz de admitância do circuito apresentado na figura 1. Substituindo pelos valores das resistências respetivas, iremos ter que a matriz de admitância é dada por:

$$\begin{bmatrix} 0,00125 & (-0,000147) & (-0,0001) \\ 0 & 0,000499 & (-0,000196) \\ 0,0001 & 0,000196 & (-0,000296) \end{bmatrix}$$

Como a matriz da impedância se obtém pelo inverso da matriz da admitância, então temos que a matriz da impedância é dada por:

$$\begin{bmatrix} 848,91 & 490,23 & (-611,41) \\ 152,25 & 2796,36 & (-1903,08) \\ 387,61 & 2017,26 & (-4845,08) \end{bmatrix}$$

2 Valores práticos

2.1 Obtenção dos valores das tensões nodais

De forma a obter os valores das tensões nos nós para posterior comparação com os valores teóricos, e com recurso ao sistema de simulação *Tina-TI* de simulação foram adicionados três voltímetros ao circuito, ilustrado pela imagem seguinte:

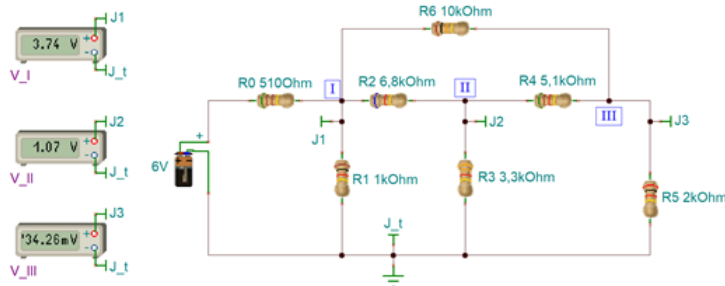


Figure 4: Circuito com voltímetros instalados para a obtenção das tensões nodais

Foram recolhidos os seguintes valores:

V_I	3,74 V
V_{II}	1,07 V
V_{III}	734,26 mV

Table 1: Tensões nos nós

2.2 Determinação das correntes nos ramos e verificação da lei dos nós

Com recurso ao multímetro virtual do sistema de simulação é nos possível recolher os valores das correntes em todos os ramos. Como as resistências não se encontram em série ou em paralelo entre si, a cada ramo do circuito corresponde uma resistência. Os valores obtidos foram os seguintes:

I_0	4,43 mA
I_1	3,74 mA
I_2	392,02 μA
I_3	325,42 μA
I_4	66,59 μA
I_5	367,13 μA
I_6	300,53 μA

Table 2: Correntes nos ramos do circuito

Comparando estes valores com os obtidos teoricamente, reparou-se que estes são aproximadamente idênticos. Assim sendo, é de se esperar que a lei dos nós se comprove com estes valores:

Para o Nó I:

$$I_0 = I_1 + I_2 + I_6 \Leftrightarrow I_0 \approx 4,43mA$$

Para o Nó II:

$$I_2 = I_3 + I_4 \Leftrightarrow I_2 \approx 392,01\mu A$$

Para o Nó III:

$$I_5 = I_4 + I_6 \Leftrightarrow I_5 \approx 367,12\mu A$$

Confirmou-se a validade da lei dos nós com os valores acima obtidos.

2.3 Cálculo do valor de R_5 para se obter a máxima transferência de potência

Para descobrir o valor de R_5 de modo a se obter a máxima transferência de potência, fez-se variar o valor desta resistência entre 0 e $10k\Omega$, mediu-se

a respetiva corrente no *Tina-TI* e calculou-se a potência ($P = RI^2$) . Daqui retiramos a seguinte tabela:

valor de R_5	I_{R_5}	Potência
0,00 Ω	536,00 μA	0 W
1,00 k Ω	435,78 μA	$1,899 \cdot 10^{-7} W$
2,00 k Ω	367,13 μA	$2,696 \cdot 10^{-7} W$
3,00 k Ω	317,17 μA	$3,018 \cdot 10^{-7} W$
4,00 k Ω	279,17 μA	$3,117 \cdot 10^{-7} W$
4,35 k Ω	267,94 μA	$3,123 \cdot 10^{-7} W$
4,50 k Ω	263,40 μA	$3,122 \cdot 10^{-7} W$
5,00 k Ω	249,31 μA	$3,108 \cdot 10^{-7} W$
6,00 k Ω	225,22 μA	$3,043 \cdot 10^{-7} W$
7,00 k Ω	205,37 μA	$2,952 \cdot 10^{-7} W$
8,00 k Ω	188,74 μA	$2,850 \cdot 10^{-7} W$
9,00 k Ω	174,60 μA	$2,744 \cdot 10^{-7} W$
10,00 k Ω	162,43 μA	$2,638 \cdot 10^{-7} W$

Table 3: Valores da Potência e da corrente em R_5 em função do valor de R_5

Fazendo o gráfico da potência em R_5 em função do valor de R_5 , vamos ter que:

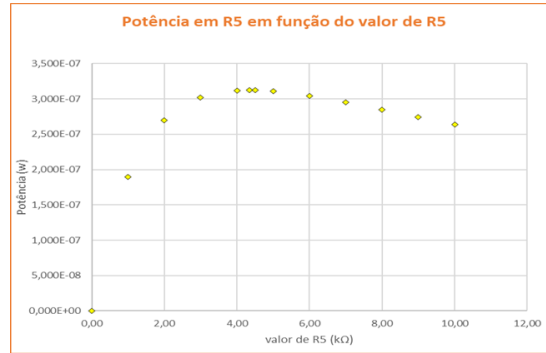


Figure 5: Gráfico da potência em R_5 em função do valor de R_5

Tanto do gráfico como da tabela verificamos, assim como na parte teórica, que o valor de R_5 para se obter a máxima transferência de potência é de aproximadamente 4,35 k Ω .

2.4 Cálculo da matriz de impedância pela análise em bi-porto

A representação do circuito com 2 portos fica da seguinte forma:

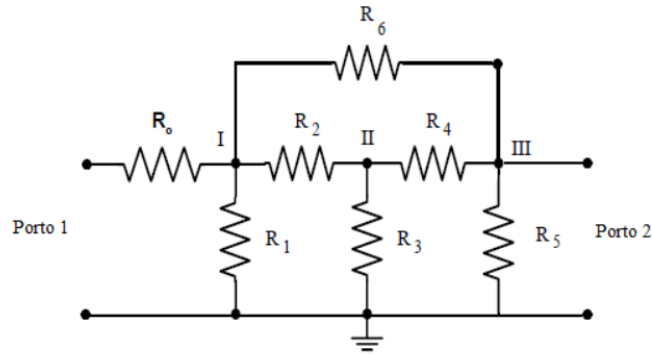


Figure 6: Circuito com a representação dos portos

Primeiro aplicou-se I_1 ao porto 1, com o porto 2 em aberto:

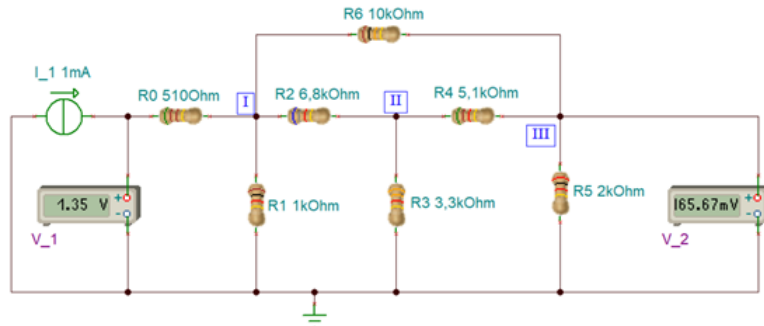


Figure 7: Circuito

Obteve-se os seguintes resultados:

$$\begin{aligned} I_1 &= 1mA \\ I_2 &= 0mA \\ V_1 &= 1.35V \\ V_2 &= 165.67mV \end{aligned}$$

Com estes valores calculou-se z_{11} e z_{21} :

$$\begin{aligned} z_{11} &= \frac{V_1}{I_1} = 1.35k\Omega \\ z_{21} &= \frac{V_2}{I_1} = 165.67 \end{aligned}$$

Depois aplicou-se I_2 ao porto 2, ficando o porto 1 em aberto:

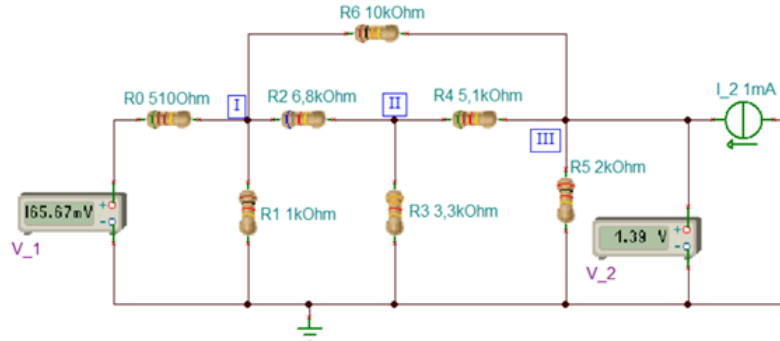


Figure 8: Circuito

Obtendo o seguinte:

$$\begin{aligned} I_2 &= 1mA \\ I_1 &= 0mA \\ V_1 &= 165.75mV \\ V_2 &= 1.39V \end{aligned}$$

E calculou-se z_{12} e z_{22} :

$$\begin{aligned} z_{12} &= \frac{V_1}{I_2} = 162.67\Omega \\ z_{22} &= \frac{V_2}{I_2} = 1.39k\Omega \end{aligned}$$

Então a matriz de impedância fica da seguinte forma:

$$\begin{bmatrix} V_1 \\ V_2 \end{bmatrix} = \begin{bmatrix} 1350 & 165.67 \\ 165.67 & 1390 \end{bmatrix} \begin{bmatrix} I_1 \\ I_2 \end{bmatrix}$$

2.5 Cálculo da matriz de admitância

Para o cálculo da matriz de admitância realizou-se um processo “inverso” ao anterior. Começou-se por fixar V_1 , mantendo o porto 2 em curto-circuito:

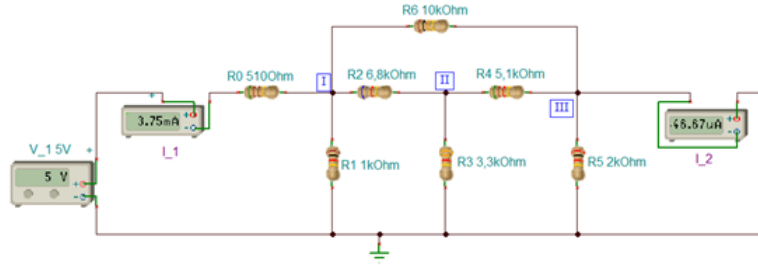


Figure 9: Circuito

E obteve-se o seguinte:

$$\begin{aligned} V_2 &= 5V \\ V_1 &= 0V \\ I_1 &= 3.75mA \\ I_2 &= -446.67\mu A \end{aligned}$$

Com estes valores calculou-se y_{11} e y_{21} :

$$\begin{aligned} y_{11} &= \frac{I_1}{V_1} = 750\mu\Omega^{-1} \\ y_{21} &= \frac{I_2}{V_1} = -89.3\mu\Omega^{-1} \end{aligned}$$

Depois aplicou-se V_2 ao porto 2, com o porto 1 em curto-circuito:

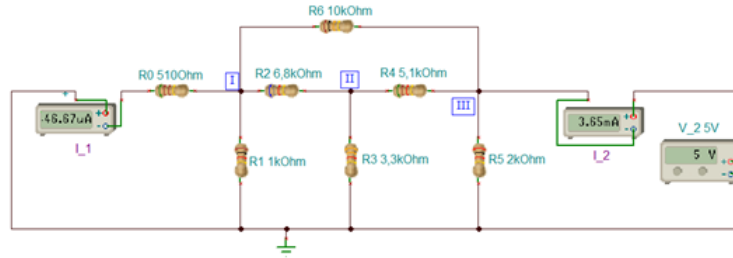


Figure 10: Circuito

Obtendo o seguinte:

$$\begin{aligned} V_2 &= 5V \\ V_1 &= 0V \\ I_1 &= -446.67\mu\Omega^{-1} \end{aligned}$$

E calculou-se y_{12} e y_{22} :

$$\begin{aligned}y_{12} &= \frac{I_1}{V_2} = -89.3\mu\Omega^{-1} \\y_{22} &= \frac{I_2}{V_2} = 730\mu\Omega^{-1}\end{aligned}$$

Então a matriz de admitância fica da seguinte forma:

$$\begin{bmatrix} I_1 \\ I_2 \end{bmatrix} = \begin{bmatrix} 750\mu & -89.3\mu \\ -89.3\mu & 730\mu \end{bmatrix} \begin{bmatrix} V_1 \\ V_2 \end{bmatrix}$$

Seguindo o mesmo pensamento das matrizes obtidas pela análise nodal, fazendo a inversa da matriz da impedância obtem-se:

$$\begin{bmatrix} 1350 & 165.67 \\ 165.67 & 1390 \end{bmatrix}^{-1} = \begin{bmatrix} 750\mu & -89.3\mu \\ -89.3\mu & 730\mu \end{bmatrix}$$

Resultando na matriz de admitancia, tal como previsto pela teoria.